

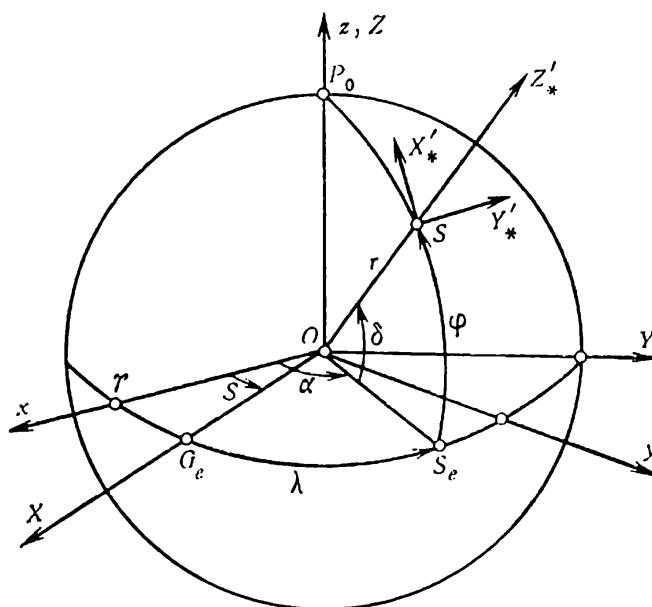
## **§ 4. Системы координат**

### **1. Основные определения**

**1.** Системы координат, применяемые в теории и практике обработки измерений в геодезических сетях, можно разделить на две группы: прямолинейная прямоугольная система координат \* (двухмерная — на плоскости, трехмерная — в пространстве), полярная система координат (двухмерная — на поверхности сферы или эллипсоида, трехмерная — в пространстве).

**Рис. 1.**  
 Геоцентрические экваториальные и объектоцентрические горизонтные координаты

$r$  — радиус,  $\alpha$  — прямое восхождение,  $\delta$  — склонение,  $\lambda$  — долгота,  $\varphi$  — широта объекта  $S$  в звездной и земной системах координат



Систему координат, начало которой совпадает (почти совпадает) с центром масс Земли, называют геоцентрической (квази-геоцентрической) системой. По этой классификации координаты, связанные с общим земным эллипсоидом, будут геоцентрическими, а координаты, связанные с референц-эллипсоидом — квазигеоцентрическими.

Систему координат, начало которой совмещено с точкой земной поверхности или околоземного пространства, называют топоцентрической системой. В частном случае, систему координат, начало которой совмещено с центром небесного объекта, называют объектоцентрической системой. При этом отличают гелиоцентрическую (начало в центре масс Солнца), планетоцентрическую (начало в центре масс планеты) и селеноцентрическую (начало в центре масс Луны) системы координат.

В зависимости от выбора основной координатной плоскости различают экваториальную (экватор или плоскость, параллельная экватору), горизонтальную (плоскость местного горизонта) и орбитальную (плоскость орбиты небесного объекта) системы координат.

2. В геоцентрической экваториальной системе оси координат задаются по отношению характерных точек земной поверхности или небесной сферы. На рис. 1 ось  $Z$  ( $z$ ) направлена на северный полюс Земли. Если при этом ось  $X$  направлена в точку Гринвича  $G_e$  (в точку пересечения гринвичского меридиана с экватором), то получим систему координат  $XYZ$ , которая, участвуя в суточном вращении Земли, остается неподвижной относительно точек земной поверхности. Эта система координат удобна для определения положения точек земной поверхности и изучения фигуры Земли. Назовем ее земной системой координат.

Направляя ось  $x$  (см. рис. 1) в точку весеннего равноденствия  $\Upsilon$ , получим систему координат  $xuz$ , не связанную с суточным вращением Земли, удобную для изучения движения небесных

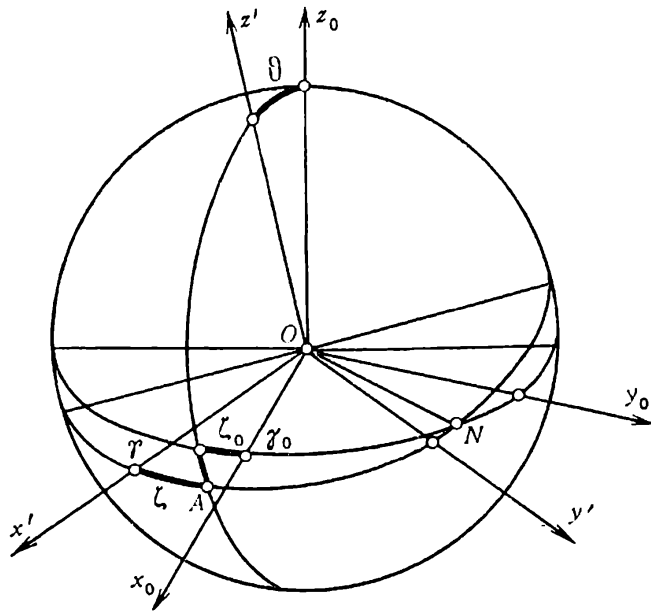


Рис. 2.  
Прецессионные углы  $\zeta_0$ ,  $\zeta$ ,  $\theta$

объектов. Хотя ее начало перемещается в мировом пространстве с некоторым ускорением, участвуя в годовом движении Земли вокруг Солнца и в движении Солнца в Галактике, это движение относительно далеких звезд можно считать инерциальным, т. е. равномерным и прямолинейным. Поэтому движение околоземного небесного объекта в системе координат  $xuz$  можно изучать, пользуясь законами механики, выводимыми для инерциальной системы по отношению далеких звезд. Систему координат  $xuz$  назовем звездной системой координат.

3. Из-за прецессии и нутации оси вращения Земли и колебания Земли вокруг своей оси (движения полюсов) основные плоскости и оси координат с течением времени изменяют свои направления в пространстве. Поэтому для экваториальных геоцентрических координат указывают момент времени, на который установлена данная система координат, и параметры преобразования координат в функции времени.

Система координат и координаты звезд в фундаментальных каталогах задаются на начало выбранного года, т. е. на определенную среднюю эпоху. Систему координат и координаты на момент наблюдения называют соответственно мгновенной (истинной) системой координат и мгновенными (истинными) координатами.

Переход от звездных геоцентрических экваториальных координат  $x_0, y_0, z_0$  средней эпохи  $T_0$  к соответствующим координатам  $x, y, z$  на момент наблюдения  $T$  осуществляется преобразованием координат за прецессию и нутацию.

Углы прецессии  $\zeta_0, \zeta, \theta$ , указанные на рис. 2, определяются по формулам Ньюкома—Андуайе:

$$\begin{aligned} \zeta_0 &= (2304,253'' + 1,3973''T_0 + 0,00006''T_0^2) \tau + \\ &+ (0,3023'' - 0,0027''T_0) \tau^2 + 0,0180''\tau^3; \\ \zeta &= (2304,253'' + 1,3973''T_0 + 0,00006''T_0^2) \tau + \end{aligned}$$

$$\begin{aligned}
& + (1,0950'' + 0,0039''T_0) \tau^2 + 0,01832''\tau^3; \\
\vartheta & = (2004,685'' - 0,8533''T_0 - 0,00037''T_0^2) \tau - \\
& - (0,4267'' + 0,0037''T_0) \tau^2 - 0,04180''\tau^3; \\
\tau & = T - T_0.
\end{aligned} \tag{4.1}$$

В этих формулах эпохи  $T_0$  и  $T$  выражены в тропических столетиях, отсчитываемых от начальной эпохи 1900,0.

Координаты  $x'$ ,  $y'$ ,  $z'$  (см. рис. 2) получим тремя последовательными вращениями — на  $\zeta_0$  в плоскости  $Ox_0y_0$ , на угол  $\vartheta$  в плоскости  $OAz_0$  и на угол  $\zeta$  в плоскости  $Ox'N$ . В результате для координат  $x'$ ,  $y'$ ,  $z'$  на эпоху  $T$  получим формулу

$$\begin{bmatrix} x' \\ y' \\ z' \end{bmatrix} = P \begin{bmatrix} x_0 \\ y_0 \\ z_0 \end{bmatrix}, \tag{4.2}$$

где матрица прецессии

$$P = \begin{bmatrix} \cos \zeta & -\sin \zeta & 0 \\ \sin \zeta & \cos \zeta & 0 \\ 0 & 0 & 1 \end{bmatrix} \begin{bmatrix} \cos \vartheta & 0 & -\sin \vartheta \\ 0 & 1 & 0 \\ \sin \vartheta & 0 & \cos \vartheta \end{bmatrix} \begin{bmatrix} \cos \zeta_0 & -\sin \zeta_0 & 0 \\ \sin \zeta_0 & \cos \zeta_0 & 0 \\ 0 & 0 & 1 \end{bmatrix} \tag{4.3}$$

имеет элементы:

$$\begin{aligned}
p_{11} & = \cos \zeta_0 \cos \zeta \cos \vartheta - \sin \zeta_0 \sin \zeta; \\
p_{12} & = -\sin \zeta_0 \cos \zeta \cos \vartheta - \cos \zeta_0 \sin \zeta; \\
p_{13} & = -\cos \zeta \sin \vartheta; \\
p_{21} & = \cos \zeta_0 \sin \zeta \cos \vartheta + \cos \zeta \sin \zeta_0; \\
p_{22} & = -\sin \zeta_0 \sin \zeta \cos \vartheta + \cos \zeta_0 \cos \zeta; \\
p_{23} & = -\sin \zeta_0 \sin \vartheta; \\
p_{31} & = \cos \zeta_0 \sin \vartheta; \\
p_{32} & = -\sin \zeta_0 \sin \vartheta; \\
p_{33} & = \cos \vartheta.
\end{aligned} \tag{4.4}$$

Преобразованные координаты  $x'$ ,  $y'$ ,  $z'$  называют средними координатами на эпоху  $T$ .

Для перехода от средних координат  $x'$ ,  $y'$ ,  $z'$  к истинным координатам  $x$ ,  $y$ ,  $z$  необходимо учесть влияние составляющих нутаций по долготе  $\delta\psi$  и по наклонению  $\delta\epsilon_0$ . Представив  $\delta\psi$  двумя составляющими — по прямому восхождению через  $\delta\psi \cos \epsilon$  и по склонению через  $\delta\psi \sin \epsilon$  и пренебрегая членами второго порядка малости, получим

$$\begin{bmatrix} x \\ y \\ z \end{bmatrix} = N \begin{bmatrix} x' \\ y' \\ z' \end{bmatrix}, \tag{4.5}$$

где матрица нутации  $N$  имеет следующие элементы:

$$\begin{aligned} n_{11} &= 1; & n_{12} &= -\delta\psi \cos \varepsilon; & n_{13} &= -\delta\psi \sin \varepsilon; \\ n_{21} &= \delta\psi \cos \varepsilon; & n_{22} &= 1; & n_{23} &= -\delta\varepsilon; \\ n_{31} &= \delta\psi \sin \varepsilon; & n_{32} &= \delta\varepsilon; & n_{33} &= 1. \end{aligned} \quad (4.6)$$

С учетом выражений (4.2) и (4.5) имеем

$$\begin{bmatrix} x \\ y \\ z \end{bmatrix} = NP \begin{bmatrix} x_0 \\ y_0 \\ z_0 \end{bmatrix}. \quad (4.7)$$

Ввиду ортогональности преобразования для обратного перехода имеем

$$\begin{bmatrix} x_0 \\ y_0 \\ z_0 \end{bmatrix} = P'N' \begin{bmatrix} x \\ y \\ z \end{bmatrix}, \quad (4.8)$$

где  $P'$  и  $N'$  — транспонированные матрицы от исходных  $P$  и  $N$ .

## 2. Сферические и эллипсоидные координаты и связь их с декартовыми координатами

1. Геоцентрические декартовы координаты (см. рис. 1) связаны с соответствующими геоцентрическими сферическими координатами следующим образом:

$$\begin{aligned} X &= r \cos \varphi \cos \lambda, \\ Y &= r \cos \varphi \sin \lambda, \\ Z &= r \sin \varphi. \end{aligned} \quad (4.9)$$

$$\begin{aligned} x &= r \cos \delta \cos \alpha, \\ y &= r \cos \delta \sin \alpha, \\ z &= r \sin \delta. \end{aligned} \quad (4.10)$$

$$\begin{aligned} \operatorname{tg} \lambda &= \frac{Y}{X}, \quad \operatorname{tg} \alpha = \frac{y}{x}, \\ \operatorname{tg} \varphi &= \operatorname{tg} \delta = \frac{Z}{D} = \frac{z}{D}, \end{aligned} \quad (4.11)$$

$$\begin{aligned} D &= \sqrt{X^2 + Y^2} = \sqrt{x^2 + y^2}, \\ r &= \sqrt{X^2 + Y^2 + Z^2} = \sqrt{x^2 + y^2 + z^2}. \end{aligned}$$

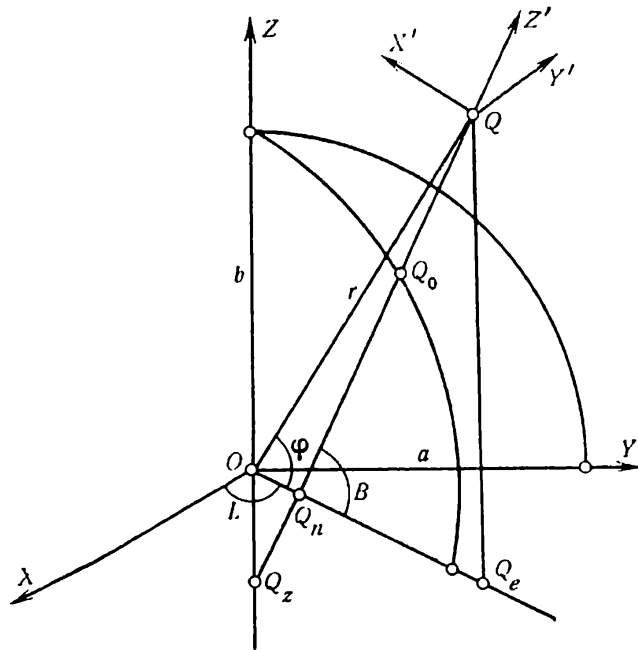
Подставляя в выражения (4.9) значения  $\lambda = \alpha - S$  и учитывая уравнения (4.10), находим

$$\begin{bmatrix} X \\ Y \\ Z \end{bmatrix} = S \begin{bmatrix} x \\ y \\ z \end{bmatrix},$$

Рис. 3.

Эллипсоидальные координаты  $B$ ,  $L$ ,  $H$  относительно земного эллипсоида с полуосями  $a$  и  $b$

$B$ ,  $L$ ,  $H = Q_0 Q$  соответственно геодезические широта, долгота и высота объекта;  $Q_z Q_0 = N$  — радиус кривизны первого вертикала;  $Q_z Q_n = N(a^2 - b^2)/a^2 = e^2 N$



где матрица поворота, элементы которой есть функция звездного времени  $S$  на Гринвиче

$$S = \begin{bmatrix} \cos S & \sin S & 0 \\ -\sin S & \cos S & 0 \\ 0 & 0 & 1 \end{bmatrix}. \quad (4.12)$$

Ввиду ортогональности преобразования для обратного перехода имеем

$$\begin{bmatrix} x \\ y \\ z \end{bmatrix} = S' \begin{bmatrix} X \\ Y \\ Z \end{bmatrix}. \quad (4.13)$$

2. Из рис. 3 следует:

$$\begin{aligned} X &= (N + H) \cos B \cos L, \\ Y &= (N + H) \cos B \sin L, \\ Z &= (N + H - e^2 N) \sin B. \end{aligned} \quad (4.14)$$

$$\operatorname{ctg} B = \frac{D - e^2 N \cos B}{Z}, \quad (4.15)$$

$$\operatorname{tg} L = \frac{Y}{X}.$$

$$H = D \sec B - N = Z \operatorname{cosec} B - (1 - e^2) N, \quad (4.16)$$

$$D = \sqrt{X^2 + Y^2}.$$

Широта  $B$  вычисляется по итерационной формуле. Пользуясь известными соотношениями

$$\begin{aligned} N &= a (1 - e^2 \sin^2 B)^{-\frac{1}{2}}, \\ \sin^2 B &= \operatorname{tg}^2 B (1 + \operatorname{tg}^2 B)^{-1} \end{aligned}$$

и исключая из формулы (4.15) значение  $N \cos B$ , получаем итерационную формулу, удобную для ЭВМ:

$$\begin{aligned} \operatorname{tg} B_{(k)} &= \frac{Z}{D - e^2 a [1 - (1 - e^2) \operatorname{tg}^2 B_{(k-1)}]^{-\frac{1}{2}}}, \quad \text{если } D > Z, \\ \operatorname{ctg} B_{(k)} &= \frac{D - e^2 a \operatorname{ctg} B_{k-1} (1 - e^2 + \operatorname{ctg}^2 B_{k-1})^{-\frac{1}{2}}}{Z}, \quad \text{если } D \leq Z, \end{aligned} \quad (4.17)$$

$k$  — номер итерации.

Из уравнения (4.15) имеем

$$\operatorname{ctg} B = \frac{D}{Z} (1 - e^2) + \frac{e^2 H \cos B}{Z}.$$

Следовательно, широту точки  $Q_0$  ( $H = 0$ ), лежащей на поверхности эллипсоида, можно вычислять по формуле

$$\operatorname{ctg} B = \frac{D}{Z} (1 - e^2), \quad (4.18)$$

не прибегая к итерациям.

Конечно, формула (4.18) будет весьма приближенной для объекта, достаточно удаленного от поверхности эллипсоида. На это обстоятельство не обратили внимания авторы монографии [52, с. 85], предлагая неитерационные формулы, эквивалентные формулам (4.18) по точности.

3. Связь плоских декартовых координат  $x, y$  в проекции Гаусса и эллипсоидальных координат  $B, L$  рассмотрена подробно в учебниках и руководствах. Приведем необходимые формулы в конечном виде:

$$\begin{aligned} x &= X + \frac{l^2}{2} r \sin B \left[ 1 - \frac{l^2}{12} (1 - 6 \cos^2 B - 9e'^2 \cos^4 B - \right. \\ &\quad \left. - 4e'^2 \cos^6 B) + \frac{1}{360} l^4 (1 - 60 \cos^2 B + 120 \cos^4 B - \right. \\ &\quad \left. - 330e'^2 \cos^4 B + 600e'^2 \cos^6 B) + \dots \right]; \\ y &= rl \left[ 1 - \frac{l^2}{6} (1 - 2 \cos^2 B - e'^2 \cos^4 B) + \right. \\ &\quad \left. + \frac{l^4}{120} (1 - 20 \cos^2 B + 24 \cos^4 B - 58e'^2 \cos^4 B + \right. \\ &\quad \left. + 72e'^2 \cos^6 B - 64e'^4 \cos^4 B + 128e'^4 \cos^6 B) + \dots \right], \\ X &= c [A_0 B + (A_2 + A_4 \cos^2 B + A_6 \cos^4 B + \\ &\quad + A_8 \cos^6 B + \dots) \cos B \sin B]; \\ A_0 &= 1 - \frac{3}{4} e'^2 + \frac{45}{64} e'^4 - \frac{175}{256} e'^6 + \frac{11025}{16384} e'^8 + \dots, \\ A_2 &= A_0 - 1; \end{aligned}$$

$$\begin{aligned}
A_4 &= \frac{15}{32} e'^4 - \frac{175}{384} e'^6 + \frac{3675}{8192} e'^8 + \dots; \\
A_6 &= -\frac{35}{96} e'^6 + \frac{735}{2048} e'^8 + \dots; \\
A_8 &= \frac{315}{1024} e'^8 + \dots.
\end{aligned} \tag{4.19}$$

$$\begin{aligned}
B &= B_0 - (1 + e'^2 \cos^2 B_0) \sin B_0 \times \\
&\times \cos B_0 \lambda^2 \left[ \frac{1}{2} - \frac{\lambda^2}{4} \left( \frac{1}{2} + \frac{1}{3} \cos^2 B_0 - \right. \right. \\
&- \left. \frac{3}{2} e'^2 \cos^2 B_0 + \frac{5}{3} e'^2 \cos^4 B_0 \right) + \lambda^4 \left( \frac{1}{16} + \frac{1}{45} \cos^4 B_0 \right) + \dots \left. \right]; \\
l &= \lambda \left[ 1 - \frac{\lambda^2}{3} \left( 1 - \frac{1}{2} \cos^2 B_0 + \frac{1}{2} e'^2 \cos^4 B_0 \right) + \right. \\
&+ \frac{\lambda^4}{5} \left( 1 - \frac{5}{6} \cos^2 B_0 + \frac{1}{24} \cos^4 B_0 + \right. \\
&+ \left. \left. \frac{1}{3} e'^2 \cos^4 B_0 - \frac{1}{12} e'^2 \cos^6 B_0 + \dots \right) \right]; \\
\lambda &= \frac{y}{r_0};
\end{aligned}$$

$$r_0 = a \cos B_0 (1 - e^2 \sin^2 B_0)^{-\frac{1}{2}}. \tag{4.20}$$

Широта  $B_0$  вычисляется по итерационной формуле

$$\begin{aligned}
B_0 &= \frac{1}{A_0} \left[ \frac{x}{c} - (A_2 + A_4 \cos^2 B_0 + \right. \\
&+ \left. A_6 \cos^4 B_0 + A_8 \cos^6 B_0) \cos B_0 \sin B_0 \right].
\end{aligned}$$

Исследования формул (4.19) и (4.20) на ЭВМ показали, что они обеспечивают преобразование координат в пределах зоны  $l \leq 3^\circ 30'$  с точностью 0,001 м.

### 3. Объектоцентрические и топоцентрические горизонтные координаты

1. На рис. 1 начало объектоцентрической горизонтной системы координат  $S$  совмещено с центром объекта, ось  $Z'_*$  продолжает геоцентрический радиус  $r$ , ось  $X'_*$  лежит в плоскости меридиана объекта  $S$  и направлена на север, ось  $Y'_*$  дополняет левую декартовую систему координат.

Переход от объектоцентрической горизонтной к звездной геоцентрической экваториальной системе координат осуществляется



двумя поворотами на угол  $(90 - \delta)$  вокруг оси  $Y'_*$  и на угол  $\alpha$  вокруг оси  $z$ , т. е.

$$\begin{bmatrix} x - x_S \\ y - y_S \\ z - z_S \end{bmatrix} = \begin{bmatrix} \cos \alpha & -\sin \alpha & 0 \\ \sin \alpha & \cos \alpha & 0 \\ 0 & 0 & 1 \end{bmatrix} \begin{bmatrix} -\sin \delta & 0 & \cos \delta \\ 0 & 1 & 0 \\ \cos \delta & 0 & \sin \delta \end{bmatrix} \begin{bmatrix} X'_* \\ Y'_* \\ Z'_* \end{bmatrix}.$$

Следовательно,

$$\begin{bmatrix} x - x_S \\ y - y_S \\ z - z_S \end{bmatrix} = A_{\alpha\delta} \begin{bmatrix} X'_* \\ Y'_* \\ Z'_* \end{bmatrix}. \quad (4.21)$$

Матрица поворота  $A_{\alpha\delta}$  имеет элементы:

$$\begin{aligned} a_{11} &= -\sin \delta \cos \alpha; & a_{12} &= -\sin \alpha; & a_{13} &= \cos \delta \cos \alpha; \\ a_{21} &= -\sin \delta \sin \alpha; & a_{22} &= \cos \alpha; & a_{23} &= \cos \delta \sin \alpha; \\ a_{31} &= \cos \delta; & a_{32} &= 0; & a_{33} &= \sin \delta. \end{aligned} \quad (4.22)$$

Обратный переход

$$\begin{bmatrix} X'_* \\ Y'_* \\ Z'_* \end{bmatrix} = A'_{\alpha\delta} \begin{bmatrix} x - x_S \\ y - y_S \\ z - z_S \end{bmatrix}, \quad (4.23)$$

где  $A'_{\alpha\delta}$  — транспонированная матрица.

По аналогии для земной геоцентрической экваториальной системы координат имеем:

$$\begin{bmatrix} X - X_S \\ Y - Y_S \\ Z - Z_S \end{bmatrix} = A_{\lambda\varphi} \begin{bmatrix} X'_* \\ Y'_* \\ Z'_* \end{bmatrix}, \quad (4.24)$$

$$\begin{bmatrix} X'_* \\ Y'_* \\ Z'_* \end{bmatrix} = A'_{\lambda\varphi} \begin{bmatrix} X - X_S \\ Y - Y_S \\ Z - Z_S \end{bmatrix}, \quad (4.25)$$

где  $A'_{\lambda\varphi}$  — транспонированная матрица.

Матрица поворота  $A_{\lambda\varphi}$  имеет элементы:

$$\begin{aligned} a_{11} &= -\sin \varphi \cos \lambda; & a_{12} &= -\sin \lambda; & a_{13} &= \cos \varphi \cos \lambda; \\ a_{21} &= -\sin \varphi \sin \lambda; & a_{22} &= \cos \lambda; & a_{23} &= \cos \varphi \sin \lambda; \\ a_{31} &= \cos \varphi; & a_{32} &= 0; & a_{33} &= \sin \varphi. \end{aligned} \quad (4.26)$$

2. На рис. 3 начало топоцентрической горизонтной системы координат совмещено с объектом  $Q$ ; ось  $Z'$  направлена по нормали к эллипсоиду в сторону увеличения высот; ось  $X'$  лежит в плоскости меридиана объекта  $Q$  и направлена на север; ось  $Y'$  дополняет левую декартову систему координат.

Все необходимые формулы запишем по аналогии, пользуясь формулами (4.24)—(4.26),

$$\begin{bmatrix} X - X_Q \\ Y - Y_Q \\ Z - Z_Q \end{bmatrix} = A \begin{bmatrix} X' \\ Y' \\ Z' \end{bmatrix}, \quad (4.27)$$

$$\begin{bmatrix} X' \\ Y' \\ Z' \end{bmatrix} = A' \begin{bmatrix} X - X_Q \\ Y - Y_Q \\ Z - Z_Q \end{bmatrix}, \quad (4.28)$$

где  $A'$  — транспонированная матрица.

Матрица поворота  $A$  имеет элементы:

$$\begin{aligned} a_{11} &= -\sin B \cos L; & a_{12} &= -\sin L; & a_{13} &= \cos B \cos L; \\ a_{21} &= -\sin B \sin L; & a_{22} &= \cos L; & a_{23} &= \cos B \sin L; \\ a_{31} &= \cos B; & a_{32} &= 0; & a_{33} &= \sin B. \end{aligned} \quad (4.29)$$

Из формул (4.14) и (4.28) следует, что для некоторой точки  $Q$  горизонтные координаты в системе координат точки  $Q_1$  будут вычислены по формулам:

$$\begin{aligned} X' &= (N + H) [\cos B_1 \sin B - \sin B_1 \cos B \cos (L - L_1)] - \\ &- e^2 (N \sin B - N_1 \sin B_1) \cos B_1; \\ Y' &= (N + H) \cos B \sin (L - L_1); \\ Z' &= (N + H) [\sin B_1 \sin B + \cos B_1 \cos B \cos (L - L_1)] - \\ &- (N_1 + H_1) - e^2 (N \sin B - N_1 \sin B_1) \sin B_1. \end{aligned} \quad (4.30)$$

#### 4. Элементы эллиптической орбиты. Орбитальные координаты

1. Элементы орбиты представляют параметры, характеризующие положение орбиты в пространстве, ее форму и размеры, а также положение небесного объекта на орбите.

Элементы орбиты удобно задать относительно координатной плоскости  $Oxy$ , проходящей через центр масс Земли и точки весеннего равноденствия  $\gamma$ . На рис. 4 прямая  $\Omega O \Omega'$ , по которой пересекаются координатная плоскость  $Oxy$  и плоскость орбиты, называется линией узлов. Когда движение объекта происходит против часовой стрелки, если смотреть из полюса орбиты  $P_i$ , точка  $\Omega$  называется восходящим узлом, а точка  $\Omega'$  — нисходящим узлом. Дуга большого круга  $\gamma \Omega$ , обозначаемая через  $\Omega$ , называется долготой восходящего узла или просто долготой узла. Дуга большого круга  $P'P$  или угол, под которым плоскость орбиты пересекает координатную плоскость  $Oxy$ , называется наклоном орбиты и обозначается через  $i$ . Дуга большого круга  $\Omega \Pi$ , обозначаемая через  $\omega$ , называется угловым расстоянием перигея  $\Pi$  от

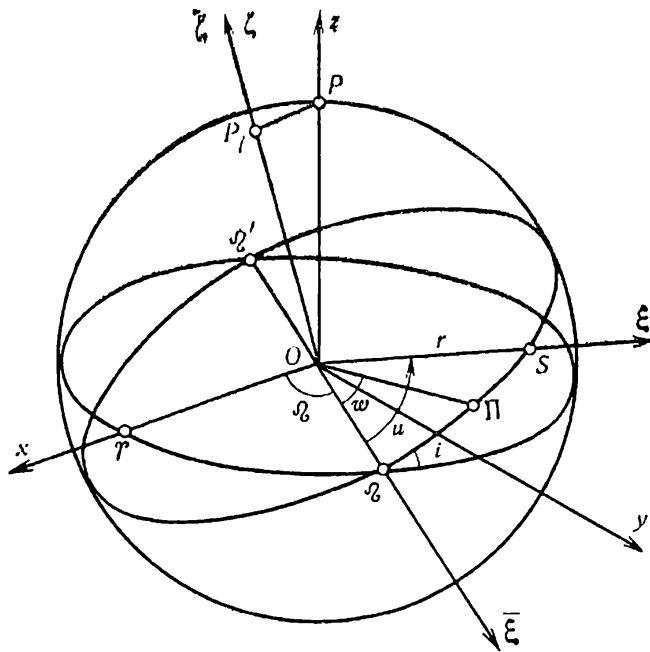


Рис. 4.  
Элементы эллиптической орбиты  
и орбитальные координаты

узла (аргументом перигея). Форма и размеры орбиты задаются эксцентриситетом  $e$  и большой полуосью  $a$ . Углы  $\Omega$ ,  $i$  определяют положение плоскости орбиты относительно основной координатной плоскости, а угол  $\omega$  — ориентацию орбиты в этой плоскости. Для определения положения небесного объекта  $S$  на орбите вводится шестой элемент  $\tau$  — момент прохождения небесного объекта через точку перигея  $\Pi$ .

Заметим, что положение небесного объекта в плоскости орбиты (см. рис. 4) можно задать полярными координатами относительно линии узлов: углом  $u$ , называемым аргументом широты, и геоцентрическим радиусом  $r$  небесного объекта.

Элементы  $a$ ,  $e$ ,  $i$ ,  $\Omega$ ,  $\omega$ ,  $\tau$  называются кеплеровскими элементами. Для планет за основную плоскость обычно принимают плоскость эклиптики, для околоземных небесных объектов — плоскость экватора. В первом случае кеплеровские элементы орбиты называются эклиптическими, во втором — экваториальными.

2. Рассмотрим орбитальные координаты, приняв плоскость экватора за основную плоскость  $Oxy$ . Оси неподвижных геоцентрических орбитальных координат определим следующим образом: ось  $\bar{\zeta}$  направлена на полюс орбиты  $P_i$ ; ось  $\bar{\xi}$  направлена в точку восходящего узла  $\Omega$ ; ось  $\bar{\eta}$  дополняет правую декартовую систему координат.

Геоцентрические орбитальные координаты преобразуем в геоцентрические экваториальные координаты по формуле

$$\begin{bmatrix} x \\ y \\ z \end{bmatrix} = A_{\Omega i} \begin{bmatrix} \bar{\xi} \\ \bar{\eta} \\ \bar{\zeta} \end{bmatrix}, \quad (4.31)$$

где матрица преобразования

$$A_{\Omega i} = \begin{bmatrix} \cos \Omega & -\sin \Omega & 0 \\ \sin \Omega & \cos \Omega & 0 \\ 0 & 0 & 1 \end{bmatrix} \begin{bmatrix} 1 & 0 & 0 \\ 0 & \cos i & -\sin i \\ 0 & \sin i & \cos i \end{bmatrix}$$

имеет следующие элементы:

$$\begin{aligned} a'_{11} &= \cos \Omega; & a'_{12} &= -\sin \Omega \cos i; & a'_{13} &= \sin \Omega \sin i; \\ a'_{21} &= \sin \Omega; & a'_{22} &= \cos \Omega \cos i; & a'_{23} &= -\cos \Omega \sin i; \\ a'_{31} &= 0; & a'_{32} &= \sin i; & a'_{33} &= \cos i. \end{aligned} \quad (4.32)$$

Обратный переход осуществляется с помощью транспонированной матрицы  $A_{\Omega i}$  по формуле

$$\begin{bmatrix} \bar{\xi} \\ \bar{\eta} \\ \bar{\zeta} \end{bmatrix} = A'_{\Omega i} \begin{bmatrix} x \\ y \\ z \end{bmatrix}. \quad (4.33)$$

3. Подвижную геоцентрическую орбитальную систему координат определяем следующим образом: ось  $\zeta$  направлена на полюс орбиты  $P_i$ ; ось  $\xi$  направлена по геоцентрическому радиусу; ось  $\eta$  лежит в плоскости орбиты, дополняя правую декартовую систему координат.

Неподвижные орбитальные координаты  $\bar{\xi}$ ,  $\bar{\eta}$ ,  $\bar{\zeta}$  (см. рис. 4) связаны с подвижными орбитальными координатами  $\xi$ ,  $\eta$ ,  $\zeta$  следующим образом:

$$\begin{bmatrix} \bar{\xi} \\ \bar{\eta} \\ \bar{\zeta} \end{bmatrix} = \begin{bmatrix} \cos u & -\sin u & 0 \\ \sin u & \cos u & 0 \\ 0 & 0 & 1 \end{bmatrix} \begin{bmatrix} \xi \\ \eta \\ \zeta \end{bmatrix} = A_u \begin{bmatrix} \xi \\ \eta \\ \zeta \end{bmatrix}. \quad (4.34)$$

Пользуясь формулами (4.31) и (4.34), получаем формулы перехода от подвижных орбитальных координат к экваториальным координатам

$$\begin{bmatrix} x \\ y \\ z \end{bmatrix} = A \begin{bmatrix} \xi \\ \eta \\ \zeta \end{bmatrix}. \quad (4.35)$$

Матрица  $A = A_{\Omega i u}$  имеет следующие элементы:

$$\begin{aligned} a_{11} &= \cos u \cos \Omega - \sin u \sin \Omega \cos i; \\ a_{12} &= -\sin u \cos \Omega - \cos u \sin \Omega \cos i; \\ a_{13} &= \sin \Omega \sin i; \\ a_{21} &= \cos u \sin \Omega + \sin u \cos \Omega \cos i; \\ a_{22} &= -\sin u \sin \Omega + \cos u \cos \Omega \cos i; \end{aligned} \quad (4.36)$$

$$a_{23} = -\cos \Omega \sin i;$$

$$a_{31} = \sin u \sin i;$$

$$a_{32} = \cos u \sin i;$$

$$a_{33} = \cos i.$$

Обратный переход осуществляется с помощью транспонированной матрицы  $A'$  по формуле

$$\begin{bmatrix} \xi \\ \eta \\ \zeta \end{bmatrix} = A' \begin{bmatrix} x \\ y \\ z \end{bmatrix}. \quad (4.37)$$

Подвижные орбитальные координаты небесного объекта  $\xi = r$ ,  $\eta = 0$ ,  $\zeta = 0$ . Следовательно, экваториальные координаты небесного объекта, согласно формулам (4.35) и (4.36),

$$\begin{aligned} x &= r (\cos u \cos \Omega - \sin u \sin \Omega \cos i), \\ y &= r (\cos u \sin \Omega + \sin u \cos \Omega \cos i), \\ z &= r \sin u \sin i. \end{aligned} \quad (4.38)$$

## § 5. Основные дифференциальные уравнения

1. Дифференциальные формулы, связывающие эллипсоидальные, экваториальные и топоцентрические горизонтные декартовые координаты

1. Пользуясь уравнением (4.14), находим полные дифференциалы:

$$\begin{aligned} dX &= \frac{\partial X}{\partial B} dB + \frac{\partial X}{\partial L} dL + \frac{\partial X}{\partial H} dH; \\ dY &= \frac{\partial Y}{\partial B} dB + \frac{\partial Y}{\partial L} dL + \frac{\partial Y}{\partial H} dH; \\ dZ &= \frac{\partial Z}{\partial B} dB + \frac{\partial Z}{\partial L} dL + \frac{\partial Z}{\partial H} dH. \end{aligned} \quad (5.1)$$

Предварительно найдем производные двух функций

$$\begin{aligned} \frac{d}{dB} (N \cos B) &= \frac{dN}{dB} \cos B - N \sin B, \\ \frac{d}{dB} (N \sin B) &= \frac{dN}{dB} \sin B + N \cos B. \end{aligned}$$

Поскольку

$$\frac{dN}{dB} = \frac{d}{dB} \left( \frac{a}{\sqrt{1 - e^2 \sin^2 B}} \right) = \frac{e^2 N \cos B \sin B}{1 - e^2 \sin^2 B}$$

и радиус кривизны меридианного эллипса  $M$  связан с радиусом кривизны сечения первого вертикала формулой

$$M = \frac{(1 - e^2) N}{1 - e^2 \sin^2 B},$$

то соответственно

$$\begin{aligned} \frac{d}{dB} (N \cos B) &= - \frac{(1 - e^2) N \sin B}{1 - e^2 \sin^2 B} = - M \sin B, \\ \frac{d}{dB} (N \sin B) &= \frac{N \cos B}{1 - e^2 \sin^2 B} = \frac{M \cos B}{1 - e^2}. \end{aligned} \quad (5.2)$$

После этого нетрудно записать искомые частные производные

$$\begin{aligned} \frac{\partial X}{\partial B} &= - (M + H) \sin B \cos L, & \frac{\partial Y}{\partial B} &= - (M + H) \sin B \sin L, \\ \frac{\partial X}{\partial L} &= - (N + H) \cos B \sin L, & \frac{\partial Y}{\partial L} &= (N + H) \cos B \cos L, \end{aligned} \quad (5.3)$$

$$\begin{aligned} \frac{\partial X}{\partial H} &= \cos B \cos L, & \frac{\partial Y}{\partial H} &= \cos B \sin L, \\ \frac{\partial Z}{\partial B} &= (M + H) \cos B, & \frac{\partial Z}{\partial L} &= 0, \quad \frac{\partial Z}{\partial H} = \sin B. \end{aligned}$$

Пользуясь формулами (5.1) и (5.3), дифференциальные формулы, связывающие эллипсоидальные и экваториальные декартовы координаты, записываем в виде

$$\begin{bmatrix} dX \\ dY \\ dZ \end{bmatrix} = A \begin{bmatrix} (M + H) dB \\ (N + H) \cos B dL \\ dH \end{bmatrix}. \quad (5.4)$$

Матрица преобразования координат  $A$  имеет элементы

$$\begin{aligned} a_{11} &= - \sin B \cos L; & a_{12} &= - \sin L; & a_{13} &= \cos B \cos L; \\ a_{21} &= - \sin B \sin L; & a_{22} &= \cos L; & a_{23} &= \cos B \sin L; \\ a_{31} &= \cos B; & a_{32} &= 0; & a_{33} &= \sin B. \end{aligned} \quad (5.5)$$

2. Элементы матрицы  $A$  (5.5) точно соответствуют элементам (4.29). Действительно, по определению топоцентрических горизонтных координат их малые приращения связаны с малыми приращениями эллипсоидальных координат в окрестности точки  $Q$  следующим образом:

$$\begin{bmatrix} dX' \\ dY' \\ dZ' \end{bmatrix} = \begin{bmatrix} (M + H) dB \\ (N + H) \cos B dL \\ dH \end{bmatrix}. \quad (5.6)$$

Из выражения (4.27) следует, что

$$\begin{bmatrix} dX \\ dY \\ dZ \end{bmatrix} = A \begin{bmatrix} dX' \\ dY' \\ dZ' \end{bmatrix}. \quad (5.7)$$

Обратное преобразование

$$\begin{bmatrix} dX' \\ dY' \\ dZ' \end{bmatrix} = A' \begin{bmatrix} dX \\ dY \\ dZ \end{bmatrix}. \quad (5.8)$$

## 2. Дифференциальные изменения координат произвольной точки $Q_i$ в системе координат начальной точки

Пусть  $\delta R_i$  представляет малые изменения экваториальных координат точки  $Q_i$ . Тогда, согласно формуле (5.8), эти изменения в системе топоцентрических горизонтных координат начальной точки будут представлены формулой

$$(\delta R'_i)_1 = A'_i \delta R_i.$$

Исключив  $\delta R_i$  с помощью выражения (5.6), получим дифференциальную формулу

$$(\delta R'_i)_1 = A'_i A_i \delta R'_i \quad (5.9)$$

для преобразования малых изменений топоцентрических горизонтных координат  $\delta R'_i$  точки  $Q_i$  в топоцентрическую горизонтную систему начальной точки  $Q_1$ .

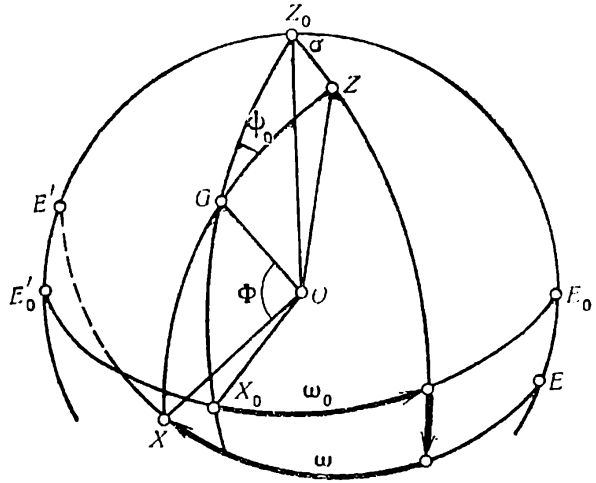
При этом, умножая матрицы  $A'_i$  и  $A_i$  с известными элементами (5.4), находим матрицу преобразования  $B_i = A'_i A_i$ , элементы которой соответственно равны:

$$\begin{aligned} b_{11} &= \cos B_1 \cos B_i + \sin B_1 \sin B_i \cos (L_i - L_1); \\ b_{12} &= \sin B_1 \sin (L_i - L_1); \\ b_{13} &= \cos B_1 \sin B_i - \sin B_1 \cos B_i \cos (L_i - L_1); \\ b_{21} &= -\sin B_i \sin (L_i - L_1); \\ b_{22} &= \cos (L_i - L_1); \\ b_{23} &= \cos B_i \sin (L_i - L_1); \\ b_{31} &= \sin B_1 \cos B_i - \cos B_1 \sin B_i \cos (L_i - L_1); \\ b_{32} &= -\cos B_1 \sin (L_i - L_1); \\ b_{33} &= \sin B_1 \sin B_i + \cos B_1 \cos B_i \cos (L_i - L_1). \end{aligned} \quad (5.10)$$

## 3. Линейный сдвиг и вращение

1. Пусть референцная система  $X, Y, Z$  определена в другой референцной системе  $X_0, Y_0, Z_0$  положением начала координат  $dx_0, dy_0, dz_0$  и эйлеровыми углами  $\omega_0, \sigma, \omega$ , показанными на рис. 5.

**Рис. 5.**  
Эйлеровы углы двух систем координат



В такой постановке координаты из одной системы в другую будут преобразованы по формулам:

$$\begin{bmatrix} X \\ Y \\ Z \end{bmatrix} = P \begin{bmatrix} X_0 - dx_0 \\ Y_0 - dy_0 \\ Z_0 - dz_0 \end{bmatrix}; \quad \begin{bmatrix} X_0 \\ Y_0 \\ Z_0 \end{bmatrix} = \begin{bmatrix} dx_0 \\ dy_0 \\ dz_0 \end{bmatrix} + P' \begin{bmatrix} X \\ Y \\ Z \end{bmatrix}. \quad (5.11)$$

Элементы матрицы  $P$  можно вычислить по формулам (4.4), приняв  $\omega_0 = -\xi_0$ ,  $\sigma = \theta$ ,  $\omega = \zeta$ .

В референцных системах углы  $\sigma$  и  $\omega - \omega_0$  малы. Поэтому в формулах (4.4), учитывая только члены первого порядка малости и введя малые углы  $\xi_0$ ,  $\eta_0$ ,  $\nu_0$ , связанные с эйлеровыми углами соотношениями

$$\xi_0 = \sigma \cos \omega_0; \quad \eta_0 = \sigma \sin \omega_0; \quad \omega_0 = \operatorname{arctg} \frac{\eta_0}{\xi_0}; \quad (5.12)$$

$$\sigma = \sqrt{\xi_0^2 + \eta_0^2}; \quad \nu_0 = \omega - \omega_0,$$

получим матрицу  $P$  через новые малые параметры

$$P = \begin{bmatrix} 1 & -\nu_0 & -\xi_0 \\ \nu_0 & 1 & -\eta_0 \\ \xi_0 & \eta_0 & 1 \end{bmatrix}. \quad (5.13)$$

Пользуясь рис. 5, получаем

$$\sin \psi_0 = \frac{\sin \sigma \sin \omega_0}{\cos \Phi} = \frac{\sin (\omega - \omega_0)}{\sin \Phi}.$$

Отсюда

$$\nu_0 = \eta_0 \operatorname{tg} \Phi.$$

Наличие долготного разворота  $\nu_0 = \omega - \omega_0$  показывает, что в двух референцных системах нульпункты счета долгот на экваторе лежат в разных точках. К примеру, если начальные меридианы проходят через Гринвич, то  $\nu_0 = 1,25\eta_0$ . Если же нульпункты счета долгот совмещены на экваторе, то  $\Phi = 0$  и долготный параметр  $\nu_0$  будет отсутствовать.



2. Представив выражение (5.11) в обычной записи

$$\begin{aligned} dX &= X - X_0 = -dx_0 - \nu_0 Y_0 - \xi_0 Z_0, \\ dY &= Y - Y_0 = -dy_0 + \nu_0 X_0 - \eta_0 Z_0, \\ dZ &= Z - Z_0 = -dz_0 + \xi_0 X_0 + \eta_0 Y_0, \end{aligned} \quad (5.14)$$

рассмотрим решение обратной задачи.

Каждый пункт  $Q_i$  ( $i = 1, 2, \dots, n$ ), координаты которого известны в двух референчных системах, доставит систему (5.14) из трех уравнений. При  $n > 2$  система уравнений (5.14) будет переопределенной и несовместной из-за влияния погрешностей положения пунктов в каждой референчной системе. Искомые параметры связи двух референчных систем можно вычислить с полной их оценкой, применив принцип наименьших квадратов.

В частном случае одна из систем может быть и общей земной системой координат, установленной на определенную эпоху.

Можно оценить разномасштабность двух систем. Для этого, умножив правые части выражения (5.11) соответственно на  $(1 + \delta m)$  и  $(1 - \delta m)$  и выполнив необходимые преобразования, достаточно ввести масштабный коэффициент.

#### 4. Дифференциальные изменения эллипсоидальных координат

1. Малые приращения эллипсоидальных координат  $B, L, H$ , из-за переноса центра эллипсоида и ориентирования его по новым осям  $X, Y, Z$  можно вычислить, пользуясь ранее выведенными уравнениями (5.8) и (5.14):

$$\begin{bmatrix} (M + H) dB \\ (N + H) \cos B dL \\ dH \end{bmatrix} = A' \begin{bmatrix} -dx_0 - \nu_0 Y_0 - \xi_0 Z_0 \\ -dy_0 + \nu_0 X_0 - \eta_0 Z_0 \\ -dz_0 + \xi_0 X_0 + \eta_0 Y_0 \end{bmatrix}. \quad (5.15)$$

2. Вариации большой полуоси  $a$  и сжатия  $\alpha$  эллипсоида хотя и не повлияют на пространственные координаты  $X, Y, Z$  точки и поэтому не изменят ее геодезическую долготу  $L = \arctg(Y : X)$ , однако вызовут изменения ее широты и высоты.

Малые приращения широты  $B$  и высоты  $H$  находим, пользуясь соотношениями

$$\begin{aligned} D &= (N + H) \cos B, \\ Z &= (N + H) \sin B - e^2 N \sin B, \end{aligned} \quad (5.16)$$

вытекающими из (4.14).

Дифференцируя уравнения (5.16) по аргументам  $B, H, a, \alpha$ , пользуясь равенством  $de^2 \approx 2d\alpha$  и (5.2), находим

$$\begin{aligned} (M + H) \sin B dB - \cos B dH &= \frac{N}{a} \cos B da + \frac{M \sin^2 B}{1 - e^2} \cos B d\alpha, \\ -(M + H) \cos B dB - \sin B dH &= \frac{N}{a} (1 - e^2) \sin B da + \\ &+ (M \sin^2 B - 2N) \sin B d\alpha. \end{aligned}$$

Помножив первую строку на  $\sin B$  ( $\cos B$ ), а вторую строку — на  $\cos B$  ( $\sin B$ ), исключив член с дифференциалом высоты (широты) и решив относительно  $dB$  ( $dH$ ), найдем:

$$(M + H) dB = e^2 \frac{N}{a} \sin B \cos B da + \left( N + \frac{M}{1 - e^2} \right) \sin B \cos B d\alpha,$$

$$dH = -\frac{a}{N} da + N \sin^2 B d\alpha. \quad (5.17)$$

3. Полные приращения эллипсоидальных координат  $B$ ,  $L$ ,  $H$  из-за переноса центра, ориентирования по новым осям координат и изменения размеров референц-эллипсоида вычисляем, складывая почленно левые и правые части уравнений (5.15) и (5.17). Умножая при этом на  $A'$  уравнение (5.5), находим

$$(M + H) dB = (dx_0 + v_0 Y_0 + \xi_0 Z_0) \sin B \cos L +$$

$$+ (dy_0 - v_0 X_0 + \eta_0 Z_0) \sin B \sin L -$$

$$- (dz_0 - \xi_0 X_0 - \eta_0 Y_0) \cos B + e^2 \frac{N}{a} \sin B \cos B da +$$

$$+ \left( N + \frac{M}{1 - e^2} \right) \sin B \cos B d\alpha;$$

$$(N + H) \cos B dL = (dx_0 + v_0 Y_0 + \xi_0 Z_0) \sin L -$$

$$- (dy_0 - v_0 X_0 + \eta_0 Z_0) \cos L; \quad (5.18)$$

$$dH = - (dx_0 + v_0 Y_0 + \xi_0 Z_0) \cos B \cos L -$$

$$- (dy_0 - v_0 X_0 + \eta_0 Z_0) \cos B \sin L -$$

$$- (dz_0 - \xi_0 X_0 - \eta_0 Y_0) \sin B - \frac{a}{N} da + N \sin^2 B d\alpha.$$

Пользуясь формулами (5.15), (5.17) и 5.5), получим дифференциальные формулы обратной задачи:

$$dx_0 + v_0 Y_0 + \xi_0 Z_0 = (M + H) \sin B \cos L dB + (N + H) \times$$

$$\times \cos B \sin L dL - \left( dH + \frac{N}{a} da + \frac{M \sin^2 B}{1 - e^2} d\alpha \right) \cos B \cos L;$$

$$dy_0 - v_0 X_0 + \eta_0 Z_0 = (M + H) \sin B \sin L dB -$$

$$- (N + H) \cos B \cos L dL - \left( dH + \frac{N}{a} da + \right.$$

$$\left. + \frac{M \sin^2 B}{1 - e^2} d\alpha \right) \cos B \sin L; \quad (5.19)$$

$$dz_0 - \xi_0 X_0 - \eta_0 Y_0 = - (M + H) \cos B dB -$$

$$- \left[ dH + \frac{N}{a} (1 - e^2) da + (M \sin^2 B - 2N) d\alpha \right] \sin B.$$